

High-Tune: RenDeRer

V. Eymet¹, V. Forest¹, N. Villefranque²
¹|Méso|Star>, ²CNRM

4 décembre 2019



High-Tune: RenDeRer (htrdr) - Aperçu

Moteur de rendu Monte Carlo d'une scène nuageuse

- ▶ C ANSI [Ker88]
- ▶ GNU/Linux 64-bits

Licence libre [GPL]

- ▶ S'approprier les outils

Interface en ligne de commande

Programme test

Pensée UNIX

Write programs that do one thing and do it well

- ▶ Séparer les idées

Write programs that work together

- ▶ Composition

Write programs that handle text streams...

- ▶ ... because that is a universal interface

Pensée UNIX

Write programs that do one thing and do it well

- ▶ Séparer les idées

Write programs that work together

- ▶ Composition

Write programs that handle text streams...

- ▶ ... because that is a universal interface

When in doubt, use brute force (K. Thompson)

- ▶ Monte Carlo !

High-Tune: RenDeRer - dépendances

Données

- ▶ High-Tune: Gaz Optical Properties (htgop)
- ▶ High-Tune: Cloud Properties (htcp)
- ▶ High-Tune: Mie (htmie)
- ▶ Star-3DAW (s3daw)

Traitement

- ▶ Star-VoXel (svx)
- ▶ Star-3D (s3d)
- ▶ Star-ScatteringFunctions (ssf)
- ▶ Star-SamPling (ssp)

Données d'entrée/sortie

Données d'entrée

- ▶ Profil atmosphérique 1D
- ▶ Champs nuageux 3D
- ▶ Propriétés optiques de l'eau liquide
- ▶ Géométrie & réflectivité du sol

Données en sortie

- ▶ Estimations Monte-carlo par pixel de l'image

L'atmosphère

Propriétés optiques RRTM-G calculées pour un profil 1D de T, P, q

- ▶ Moulinette sur N concentrations en vapeur d'eau pour prendre en compte la variabilité horizontale de q
- ▶ Coefficient d'absorption (visible & infra rouge)
- ▶ Coefficient de diffusion (visible)

Format de fichier "High-Tune: Gas Optical Properties" (htgop)

- ▶ Format texte
- ▶ Stocke le profil atmosphérique et ses propriétés optiques

Bibliothèque htgop

- ▶ <https://gitlab.com/meso-star/htgop.git>
- ▶ Charge en mémoire un fichier htgop

Atmosphère en k-distributions & High-Tune: RenDeRer

Calcul des k-distributions avec ecRad [HB16]

Variations locales du contenu en vapeur d'eau

- ▶ tabulation des k-distributions (pour toute la colonne) en fonction du rapport de mélange x_{H_2O} .

Interpolation à la volée des k-distributions en fonction de x_{H_2O}

Champs nuageux 3D

Données par maille

- ▶ Rapport de mélange de vapeur d'eau en kg d'eau par m³ d'air sec
- ▶ Rapport de mélange d'eau liquide en suspension en kg d'eau par m³ d'air sec
- ▶ Pression en Pascal
- ▶ Température en Kelvin

Format de fichier "High-Tune: Cloud Properties" (htcp)

- ▶ Format binaire

Bibliothèque htcp

- ▶ <https://gitlab.com/meso-star/htcp.git>
- ▶ Données *out-of-core*

Champs nuageux 3D & Simulations LES [BCC⁺02]

Données LES [LSA⁺97, LCM⁺18]

- ▶ Stockées dans un fichier NetCDF

Programme les2htcp

- ▶ <https://gitlab.com/meso-star/les2htcp>
- ▶ Conversion NetCDF → htcp

Propriétés optiques de l'eau liquide

Évaluées par un code de Mie [MTL02]

- ▶ Discrétisation sur le spectre visible/infra rouge
- ▶ Intégration sur une distribution de tailles de goutte. Dans "High-Tune: Starter Pack" distribution lognormale de rayon effectif $10 \mu\text{m}$ et écart type $0.1 \mu\text{m}$.

Données par longueur d'onde

- ▶ Section efficace d'absorption massique
- ▶ Section efficace de diffusion massique
- ▶ Paramètre d'asymétrie de la fonction de phase d'Henyey-Greenstein

Bibliothèque htmie

- ▶ <https://gitlab.com/meso-star/htmie.git>
- ▶ Charge les propriétés optiques sauvees dans un fichier NetCDF "High-Tune: Mie"

Données du sol

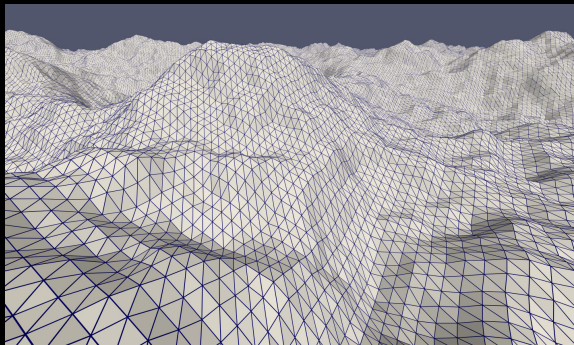
Une géométrie quelconque au format obj

Propriété optiques constantes et grises

- ▶ Surface lambertienne
- ▶ Réflectivité définie en option de la ligne de commande

```
# List of vertices
v 0 0 367.196
v 19.5312 0 353.952
v 39.0625 0 347.371
v 58.5938 0 345.122
v 78.125 0 340.736
...
v 9980.47 10000 390.285
v 10000 10000 367.196
```

```
# List of triangles
f 1 514 2
f 2 514 515
f 2 515 3
f 3 515 516
...
f 262655 263168 262656
f 262656 263168 263169
```



Données de l'image en sortie

Estimations par pixel : moyennes & écart types

- ▶ Luminance intégrée par composante colorimétrique (XYZ)
- ▶ Temps par réalisation

Format de Fichier htrdr-image

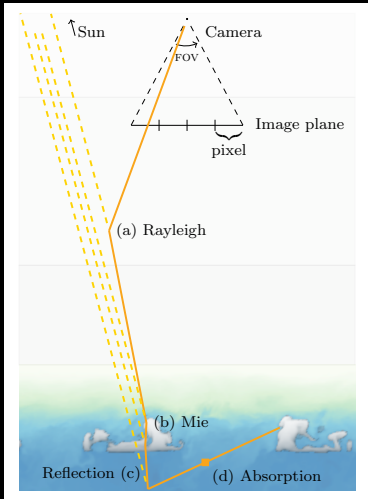
- ▶ Format texte

High-Tune: RenDeRer

Algorithme de suivi de chemins à rebours [VFC⁺19]

Parallélisation mixte de N Monte Carlo

- ▶ Mémoire partagée : OpenMP
- ▶ Mémoire distribuée : OpenMPI



D'un signal spectral de luminance à une couleur

Rendu dans l'espace colorimétrique XYZ [CIE31]

$$X = \int_0^{+\infty} \bar{x}(\lambda) L_\lambda(\vec{x}, -\vec{u}) d\lambda \quad (1)$$

$$Y = \int_0^{+\infty} \bar{y}(\lambda) L_\lambda(\vec{x}, -\vec{u}) d\lambda \quad (2)$$

$$Z = \int_0^{+\infty} \bar{z}(\lambda) L_\lambda(\vec{x}, -\vec{u}) d\lambda \quad (3)$$

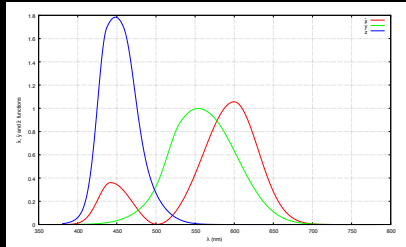


Figure: Fonctions $\bar{x}(\lambda)$, $\bar{y}(\lambda)$ et $\bar{z}(\lambda)$

Conversion XYZ → sRGB : “High-Tune: Post-Process”

- ▶ <https://gitlab.com/meso-star/htpp.git>
- ▶ Correction de ton [Hab10]
- ▶ Conversion XYZ → sRGB : $C_{sRGB} = [M].C_{XYZ}$
- ▶ Correction gamma

Au-delà du code

Documentation de référence

- ▶ Page de manuel (`man`)

Site internet

- ▶ `https://www.meso-star.com/projects/high-tune/high-tune.html`

Distribution basée sources

- ▶ `https://gitlab.com/meso-star/star-engine/tree/high_tune`

High-Tune: Starter Pack

Les perspectives de htrdr

Remplacer Henyey-Greenstein par Mie

Réduire le temps de mise en donnée

Tester la parallélisation sur super calculateur

Vers un algorithme Monte Carlo *out-of-core*

etc.

Au-delà de htrdr

MCG-RAD

- ▶ LMD, IRIT, Laplace, |Méso|Star>

MODRADURB

- ▶ CNRM, |Méso|Star>, Laplace, LMA

ASTORIA

- ▶ CERFACS, CORIA, ONERA, RAPSOODEE

 A.R. Brown, R.T Cederwall, A. Chlond, P.G. Duynkerke, J.-C. Golaz, M. Khairoutdinov, D. C. Lewellen, A. P. Lock, M. K. MacVean, C.-H. Moeng, R. A. J. Neggers, A. P. Siebesma, and B. Stevens.

Large-eddy simulation of the diurnal cycle of shallow cumulus convection over land.

Q. J. R. Meteorol. Soc., 128:1075–1093, 2002.

 *Commission International de l'Éclairage Proceedings*.
Cambridge University Press, Cambridge, 1931.

 GNU General Public License.
<https://www.gnu.org/licenses/gpl.html>.

 John Hable.
Filmic Tonemapping Operators.
filmicworlds.com/blog/filmic-tonemapping-operators,
may 2010.

 R.J. Hogan and A. Bozzo.
A new radiation scheme for the IFS.

 Brian W. Kernighan.

The C Programming Language.

Prentice Hall Professional Technical Reference, 2nd edition, 1988.

 C. Lac, J.-P. Chaboureau, V. Masson, J.-P. Pinty, P. Tulet,
J. Escobar, M. Leriche, C. Barthe, B. Aouizerats, C. Augros,
P. Aumond, F. Auguste, P. Bechtold, S. Berthet, S. Bielli,
F. Bosseur, O. Caumont, J.-M. Cohard, J. Colin, F. Couvreux,
J. Cuxart, G. Delautier, T. Dauhut, V. Ducrocq, J.-B. Filippi,
D. Gazen, O. Geoffroy, F. Gheusi, R. Honnert, J.-P. Lafore,
C. Lebeaupin Brossier, Q. Libois, T. Lunet, C. Mari, T. Maric,
P. Mascart, M. Mogé, G. Molinié, O. Nuissier, F. Pantillon,
P. Peyrillé, J. Pergaud, E. Perraud, J. Pianezze, J.-L. Redelsperger,
D. Ricard, E. Richard, S. Riette, Q. Rodier, R. Schoetter,
L. Seyfried, J. Stein, K. Suhre, M. Taufour, O. Thouron, S. Turner,
A. Verrelle, B. Vié, F. Visentin, V. Vionnet, and P. Wautelet.

Overview of the Meso-NH model version 5.4 and its applications.

Geoscientific Model Development, 11(5):1929–1969, 2018.

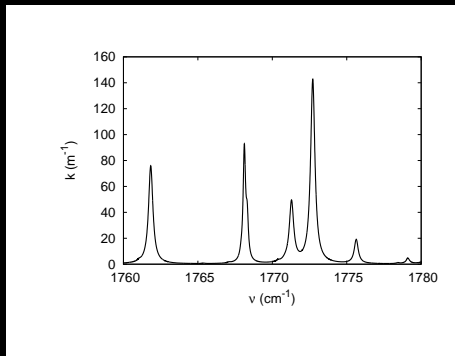
- J. P. Lafore, J. Stein, N. Asencio, P. Bougeault, V. Ducrocq, J. Duron, C. Fischer, P. Héreil, P. Mascart, V. Masson, J. P. Pinty, J. L. Redelsperger, E. Richard, and J. Vilà-Guerau de Arellano.
The Meso-NH Atmospheric Simulation System. Part I: adiabatic formulation and control simulations.
Annales Geophysicae, 16(1):90–109, Dec 1997.
- M. I. Mishchenko, L. D. Travis, and A. A. Lacis.
Scattering, Absorption, and Emission of Light by Small Particles.
Cambridge University Press, Cambridge, 2002.
- Najda Villefranque, Richard Fournier, Fleur Couvreux, Stéphane Blanco, Céline Cornet, Vincent Eymet, Vincent Forest, and Jean-Marc Tregan.
A path-tracing monte carlo library for 3-d radiative transfer in highly resolved cloudy atmospheres.
Journal of Advances in Modeling Earth Systems, 11(8):2449–2473, 2019.

L'atmosphère - modèle spectral en k-distributions (1/4)

On souhaite réaliser l'intégration spectrale sur un intervalle $[\nu_{min}, \nu_{max}]$ d'une fonction de ν :

$$\frac{1}{\nu_{max} - \nu_{min}} \int_{\nu_{min}}^{\nu_{max}} A(\nu) d\nu \quad (4)$$

Avec A la quantité radiative (que l'on sait estimer pour chaque valeur de ν).

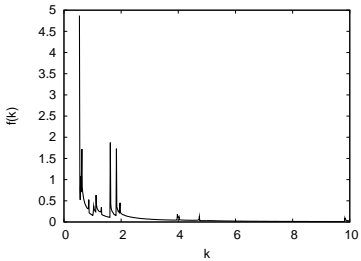
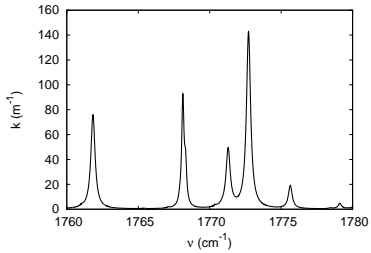


L'atmosphère - modèle spectral en k-distributions (2/4)

$$\frac{1}{\nu_{max} - \nu_{min}} \int_{\nu_{min}}^{\nu_{max}} A(\nu) d\nu = \int_0^{+\infty} A(k) f(k) dk \quad (5)$$

$f(k)$: fonction de distribution de $k(\nu)$

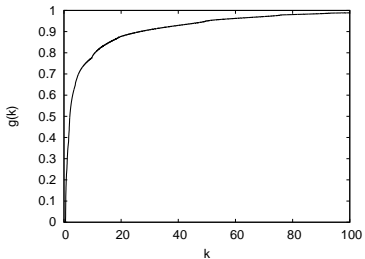
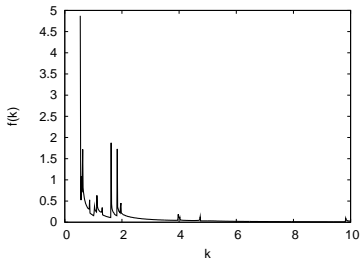
$f(k)dk$: fraction de $\nu_{max}-\nu_{min}$ où $k \in [k; k + dk]$



L'atmosphère - modèle spectral en k-distributions (3/4)

$$\frac{1}{\nu_{max} - \nu_{min}} \int_{\nu_{min}}^{\nu_{max}} A(\nu) d\nu = \int_0^{+\infty} A(k) f(k) dk = \int_0^1 A(k(g)) dg \quad (6)$$

Avec $g(k) = \int_0^k f(k') dk'$ la cumulée de $f(k)$



L'atmosphère - modèle spectral en k-distributions (4/4)

$$\frac{1}{\nu_{max} - \nu_{min}} \int_{\nu_{min}}^{\nu_{max}} A(\nu) d\nu = \int_0^1 A(k(g)) dg \approx \sum_{i=1}^N A(k(g_i)) \omega_i \quad (7)$$

g_i : abscisses de quadrature

ω_i : poids de quadrature

$k(g_i) \equiv k_i$: coefficients de la k-distribution

Avantage

Au lieu de réaliser des milliers de calculs radiatifs, on n'a besoin que de $N \approx 10$ calculs par intervalle de quelques dizaines de cm^{-1} .

Inconvénient

introduit une erreur de quelques pourcent en milieu hétérogène : lorsque T ou P varie, le spectre $k(\nu)$ change et une valeur de g_i/k_i ne correspond plus aux mêmes fréquences. On fait donc l'hypothèse que le spectre $k(\nu)$ est homothétique lorsque les conditions varient, de façon à ce qu'un calcul de transfert pour un k_i donné soit équivalent à un calcul monochromatique (Hypothèse "correlated-k", plus ou moins bien vérifiée).

Utiliser High-Tune: RenDeRer

Installation

Installation de High-Tune: RenDeRer

```
~ $ git clone -b High-Tune-0.1.0-r1 \
    https://gitlab.com/meso-star/star-engine.git High-Tune-0.1.0-r1
~ $ mkdir High-Tune-0.1.0-r1/build; cd High-Tune-0.1.0-r1/build
~/High-Tune-0.1.0-r1/build $ cmake ../cmake
~/High-Tune-0.1.0-r1/build $ make
```

Installation du High-Tune: Starter Pack

```
~ $ wget https://www.meso-star.com/projects/high-tune/downloads/\
    High-Tune-Starter-Pack-0.1.1.tar.gz
~ $ tar xzvf High-Tune-Starter-Pack-0.1.1.tar.gz
```

Préparation du TP

Enregistrement de l'installation dans le shell GNU/Bash courant

```
~ $ source ~/High-Tune-0.1.0-r1/local/etc/high_tune.profile  
~ $ htrdr -h  
~ $ man htrdr  
~ $ export HTSPK=~/High-Tune-Starter-Pack-0.1.1
```

Création du répertoire de travail

```
~ $ mkdir TP  
~ $ cd TP  
~/TP $ echo "Hello, world!"
```

Rendu ciel clair

Premier rendu

```
~/TP $ htrdr -v \
-a $HTSPK/ecrad_opt_prop.txt \
-m $HTSPK/Mie_LUT_Cloud.nc \
-g $HTSPK/models/plane.obj -R \
-i def=640x480:spp=128 \
-C pos=0,0,100:tgt=0,1,100 \
-o clear_sky.txt
```

Visualisation de l'image

```
~/TP $ htpp -h
~/TP $ man htpp
~/TP $ htpp clear_sky.txt | display -
~/TP $ htpp -o clear_sky.ppm clear_sky.txt
~/TP $ display clear_sky.ppm
~/TP $ htpp -e 0.7 -o clear_sky_0.7.ppm clear_sky.txt
~/TP $ display clear_sky.ppm clear_sky_0.7.ppm
```

Changer la position du soleil

```
~/TP $ htrdr -v \
-a $HTSPK/ecrad_opt_prop.txt \
-m $HTSPK/Mie_LUT_Cloud.nc \
-g $HTSPK/models/plane.obj -R \
-i def=640x480:spp=128 \
-C pos=0,0,100:tgt=0,1,100 \
-o clear_sky.txt -f \
-D 90,20
```

```
~/TP $ htpp clear_sky.txt | display -
```

Modifier la caméra

```
~/TP $ htrdr -v \
-a $HTSPK/ecrad_opt_prop.txt \
-m $HTSPK/Mie_LUT_Cloud.nc \
-g $HTSPK/models/plane.obj -R \
-i def=640x480:spp=128 \
-C pos=0,0,100:tgt=0,1,100.5:up=0,0,1:fov=60 \
-o clear_sky.txt -f \
-D 90,20

~/TP $ htpp clear_sky.txt | display -
```

Rendu d'un champ nuageux

```
~/TP $ htrdr -v \
-a $HTSPK/ecrad_opt_prop.txt \
-m $HTSPK/Mie_LUT_Cloud.nc \
-g $HTSPK/models/plane.obj -R \
-i def=640x480:spp=4 \
-C pos=0,0,100:tgt=0,1,100.5:up=0,0,1:fov=60 \
-o sky_DZVAR.txt \
-D 90,20 \
-c $HTSPK/clouds/DZVAR.1.ARMCU.008.diaKCL.htcp

~/TP $ htpp sky_DZVAR.txt | display -
```

Répéter les nuages à l'infini

```
~/TP $ htrdr -v \
-a $HTSPK/ecrad_opt_prop.txt \
-m $HTSPK/Mie_LUT_Cloud.nc \
-g $HTSPK/models/plane.obj -R \
-i def=640x480:spp=4 \
-C pos=0,0,100:tgt=0,1,100.5:up=0,0,1:fov=60 \
-o sky_DZVAR.txt -f \
-D 90,20 \
-c $HTSPK/clouds/DZVAR.1.ARMCU.008.diaKCL.htcp -r

~/TP $ htpp sky_DZVAR.txt | display -
```

Sortir les grilles accélératrices

```
~/TP $ htrdr -v \
-a $HTSPK/ecrad_opt_prop.txt \
-m $HTSPK/Mie_LUT_Cloud.nc \
-g $HTSPK/models/plane.obj \
-c $HTSPK/clouds/DZVAR.1.ARMCU.008.diaKCL.htcp \
-o grids.txt \
-d
```

```
~/TP $ csplit \
-f cloud_grid_ \
-b %02d.vtk \
-z \
--suppress-matched \
grids.txt \
/^---$/ {*} 
```

```
~/TP $ paraview cloud_grid_11.vtk
```

Modifier le critère de construction des grilles accélératrices

```
~/TP $ htrdr -v \
-a $HTSPK/ecrad_opt_prop.txt \
-m $HTSPK/Mie_LUT_Cloud.nc \
-g $HTSPK/models/plane.obj -R \
-i def=640x480:spp=4 \
-C pos=0,0,100:tgt=0,1,100.5:up=0,0,1:fov=60 \
-o sky_DZVAR_0.1.txt \
-D 90,20 \
-c $HTSPK/clouds/DZVAR.1.ARMCU.008.diaKCL.htcp -r \
-T 0.01

~/TP $ htpp sky_DZVAR_0.01.txt | display -
```

Modifier le sol

```
~/TP $ htrdr -v \
-a $HTSPK/ecrad_opt_prop.txt \
-m $HTSPK/Mie_LUT_Cloud.nc \
-g $HTSPK/models/mountain.obj -R -e 0.7 \
-i def=640x480:spp=32 \
-C pos=0,0,600:tgt=0,1,600.1:up=0,0,1:fov=60 \
-o sky_DZVAR_mountain.txt \
-D 90,60 \
-c $HTSPK/clouds/DZVAR.1.ARMCU.008.diaKCL.htcp -r

~/TP $ htpp sky_DZVAR_mountain.txt | display -
```

High-Tune: Starter Pack - le script ht-run.sh

Script Bash qui génère une ligne de commande htrdr à partir d'un fichier d'entrée décrivant la scène à rendre

```
~/TP $ cat $HTSPK/scenes/DZVAR2
~/TP $ cat $HTSPK/ht-run.sh | more
~/TP $ bash $HTSPK/ht-run.sh $HTSPK/scenes/DZVAR2
~/TP $ htpp DZVAR_1280x720x256.txt | display -
```